靜坐默運祖炁之熱像研究

劉通敏[1,5]、張榮森[2]、黃富聰[2*]、吳季樺[3]、林宜興[5]、王貴芳[4,5]
清華大學動力機械工程學系[1]暨天帝教天人親和院[5]
中央大學光電所[2]、銘傳大學生物醫學工程系[3]
中國醫藥大學學士後中醫系[4]暨天帝教天人親和院[5]
新竹市300光復路二段101號[1]
桃園縣中壢市五權里2鄰中大路300號[2]、桃園縣龜山鄉大同村德明路5號[3]
台中市北區學士路91號[4]、南投縣魚池鄉中明村文正巷41號[5]
03-4227151-65285、03-3507001-3398
942206064@cc.ncu.edu.tw*

摘 要

關於氣的量測，已有相當多的文獻記載，如紅外線、壓力波、高能輻射場、核磁共振等，但對於天帝教法華上乘正宗靜坐默運祖炁時所產生的生理變化鮮見於公開文獻報導。本研究是藉由科學儀器紅外線熱像儀來觀察受測者之靜坐默運祖炁前後臉部的溫度變化，進而增加對默運祖炁時生理變化之了解，以期歸納出具指標意義的關係或趨勢。

關鍵字：紅外線熱像、祖炁(先天氣)

靜坐默運祖炁之熱像研究

劉通敏[1,5]、張榮森[2]、黃富聰[2]*、吳季樺[3]、林宜興[5]、王貴芳[4,5]
清華大學動力機械工程學系[1]暨天帝教天人親和院[5]
中央大學光電所[2]、銘傳大學生物醫學工程系[3]
中國醫藥大學學士後中醫系[4]暨天帝教天人親和院[5]
新竹市300光復路二段101號[1]
桃園縣中壢市五權里2鄰中大路300號[2]、桃園縣龜山鄉大同村德明路5號[3]
台中市北區學士路91號[4]、南投縣魚池鄉中明村文正巷41號[5]
03-4227151-65285、03-3507001-3398
942206064@cc.ncu.edu.tw*

摘要：關於氣的量測，已有相當多的文獻記載，如紅外線、壓力波、高能輻射場、核磁共振等，但對於天帝教法華上乘正宗靜坐默運祖炁時所產生的生理變化鮮見於公開文獻報導。本研究是藉由科學儀器紅外線熱像儀來觀察受測者之靜坐默運祖炁前後臉部的溫度變化，進而增加對默運祖炁時生理變化之了解，以期歸納出具指標意義的關係或趨勢。

關鍵字：紅外線熱像、祖炁(先天氣)

1.前言

紅外線熱像：受測者所發放的生物能電包括：遠紅外線電磁波、靜電、生物磁以及某種能流等，目前針對7-14 microns 的遠紅外線的變化進行偵測。主要測量受測者之全臉，特別觀察顱頂、性竅、命宮等三點之變化，如圖一中的A、B、C三點。實驗架構如圖二所示，受測者靜坐於固定之紅外線熱像儀前接受拍攝，紀錄實驗時臉部的溫度變化。

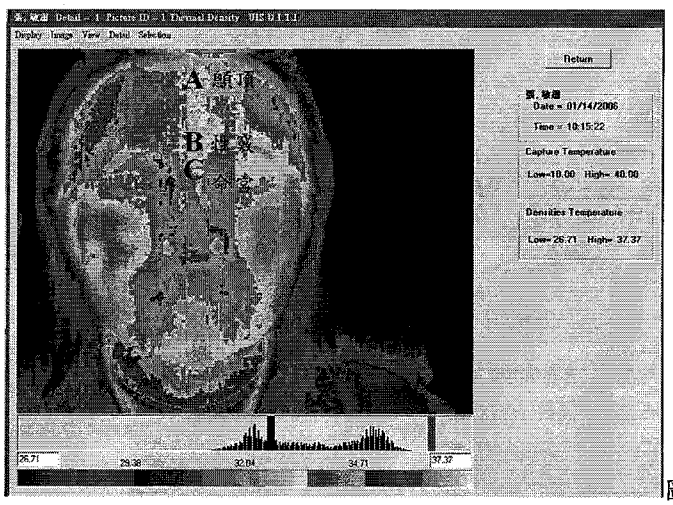

圖一. 臉部熱像圖

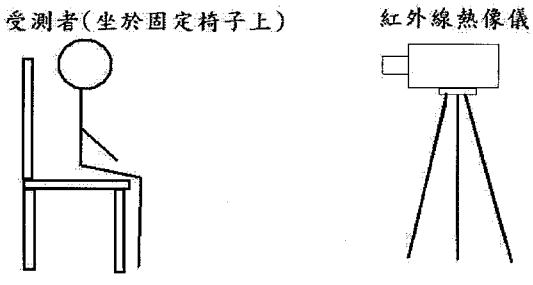

圖二. 熱像儀實驗架構

2.實驗方法

利用紅外線攝影機量測受測者默運祖炁前後之熱像圖。紅外線攝影機每五秒拍攝一張畫面共拍攝12分鐘144張圖。默運祖炁過程：

1. 從實驗開始到第三分鐘：受測者靜坐。
2. 第三分鐘到第六分鐘：受測者進行默運祖炁動作。
3. 第六分鐘到最後：受測者自然運化不做動作。

3.實驗結果

在實驗中，22 位受測者在默運祖炁時臉部的溫度變化主要可分為上升與下降及無變化三類，溫度上升者11人約占總人數50%，下降8人約占37%，無變化者3人佔13%。以下為其典型舉例說明

(a)溫度上升型：圖三中之受測者甲，在默運祖炁的時間中(第3~6分鐘)，顱頂、性竅、命宮三點的溫度上升。圖四為其顱頂、性竅、命宮三點平均溫度變化曲線與環境溫度曲線。

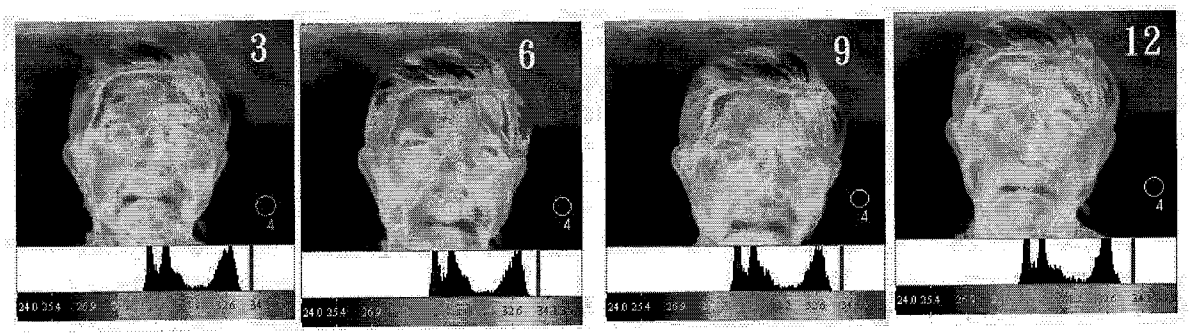

圖三.受測者甲臉部溫度的變化圖，從左到右為第3、6、9、12分鐘

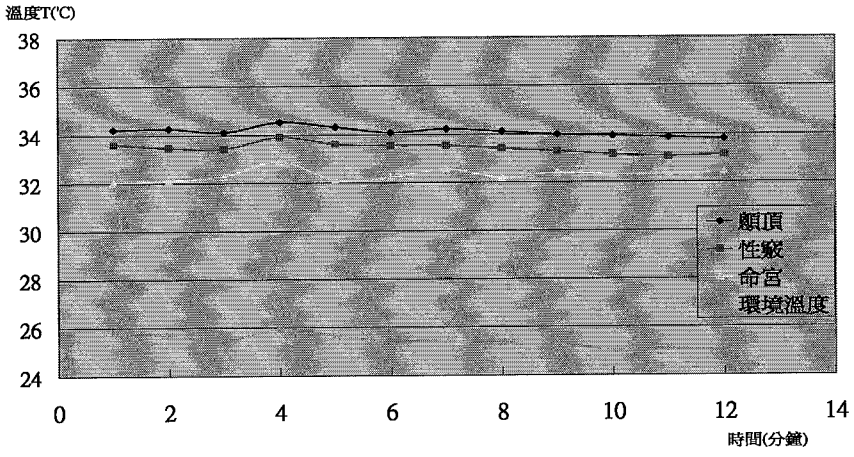

接祖炁前命宮平均溫度:32.14℃
接祖炁期間命宮平均溫度:32.41℃
命宮總體平均溫度:32.3℃

圖四. 受測者甲顱頂、性竅、命宮三點與環境溫度變化曲線圖

(b)溫度下降型：圖五中之受測者乙，在接祖炁的時間中，顱頂、性竅溫度變化不大，命宮的溫度下降。

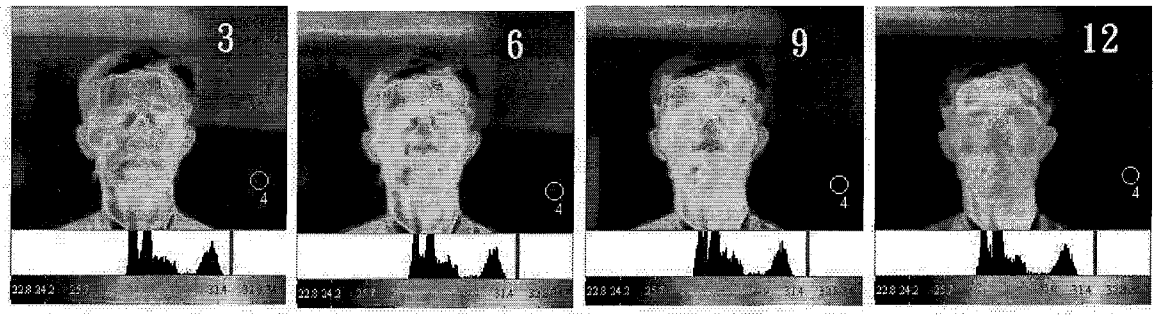

圖五.受測者乙臉部溫度的變化圖，左到右為第 3、6、9、12 分鐘

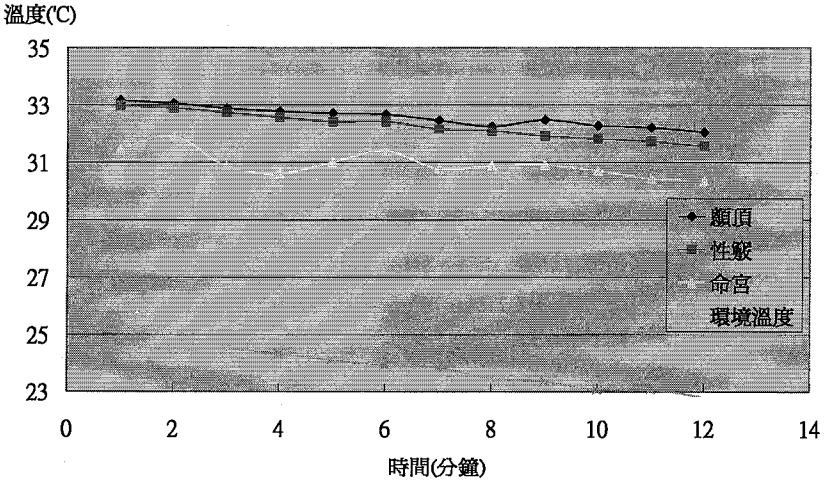

接祖炁前命宮平均溫度:31.42°C
接祖炁期間命宮平均溫度:31.00°C
命宮總體平均溫度:31.03°C

圖六. 受測者乙顖頂、性竅、命宮三點與環境溫度變化曲線圖

(C).一般受測者(未練功的學生)：溫度無明顯變化或起伏

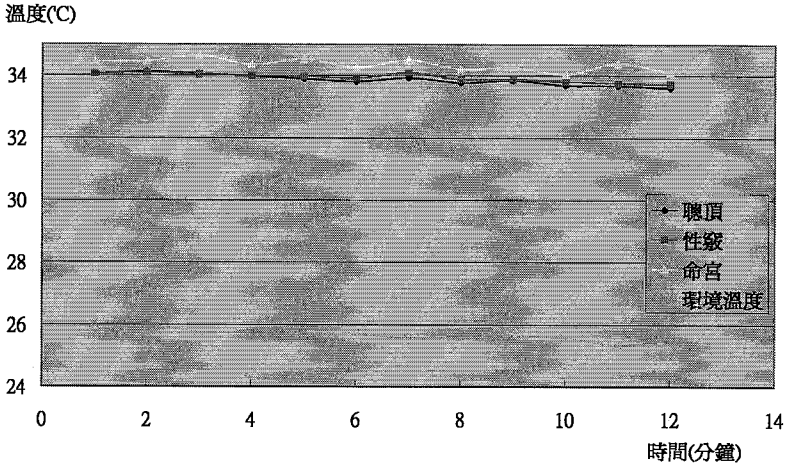

接祖炁期間命宮平均溫度:34.38°C
命宮總體平均溫度:34.385°C

圖七.一般受測者(未練功的學生)臉部溫度變化曲線圖，受測期間無明顯溫度變化

兩個較為不同的例子: 受測者丙與受測者丁　其溫度變化顯著之時段並不是如大多數人在默運祖炁的時間內變化，而是在默運祖炁之後的三分鐘內。

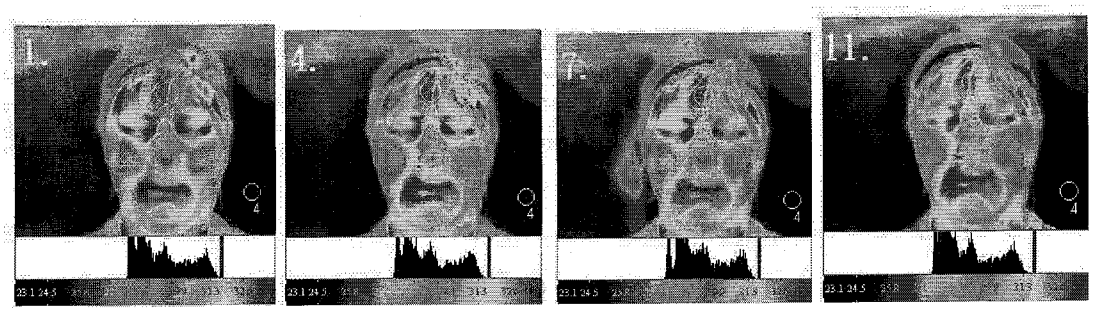

圖八.受測者受測者丙臉部溫度的變化圖，左到右為第 1、4、7、11 分鐘

受測者丙默運祖炁完才開始有顯著的溫度變化，且變化的時間在第 6~9 分鐘，所維持的時間三分鐘與其他人的變化時間(從第 3~第 6 分鐘)相同。

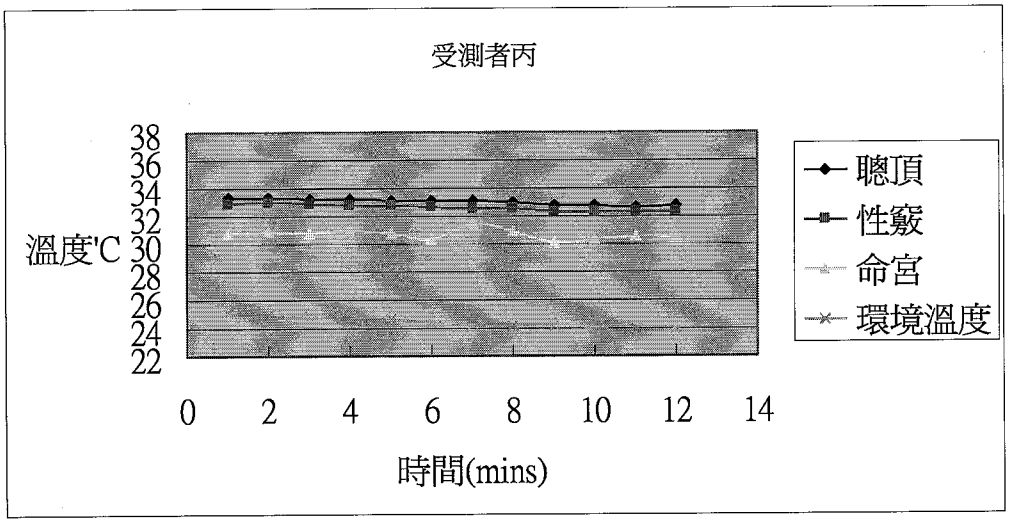

圖九. 受測者丙臉部穴道溫度隨時間變化圖

由下圖可明顯看出，在接完祖炁後的三分鐘內(第 6~9 分鐘)其溫度差才有較大變化，且為先變大再變小。

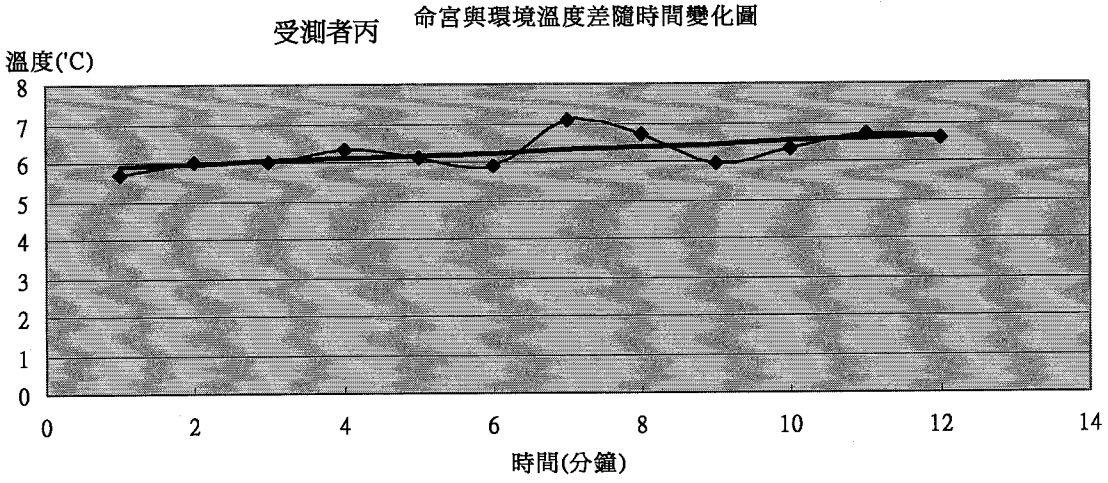

圖十. 受測者丙命宮穴道溫度與環境差隨時間變化圖

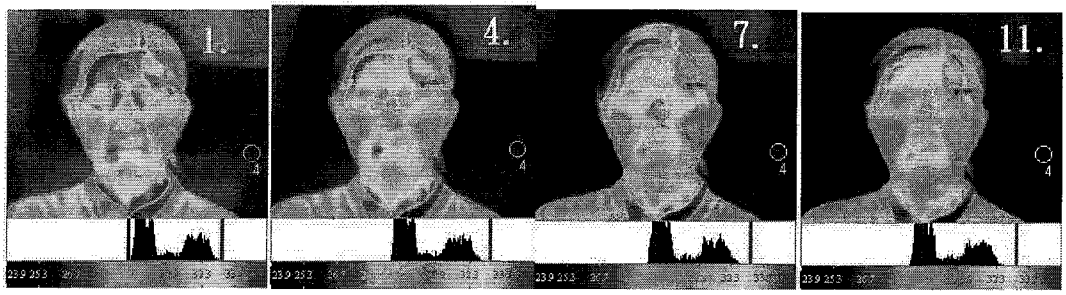

圖十一.受測者丁臉部溫度的變化圖，左到右為第 1、4、7、11 分鐘。

受測者丁接祖炁完才開始有顯著的溫度變化，且變化的時間在第 6~9 分鐘，所維持的時間三分鐘與其他人的變化時間(從第 3~第 6 分鐘)相同。注意到其命宮溫度為下降而非鏡曼那樣為上升。

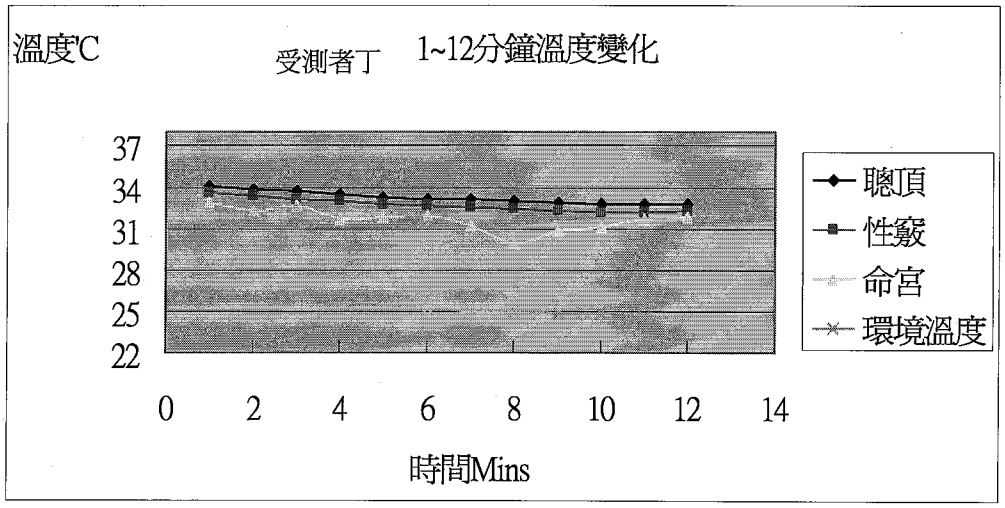

圖十二. 受測者丁臉部穴道溫度隨時間變化圖

受測者丁命宮與環境溫度差隨時間變化圖:在接完祖炁後的三分鐘內(第 6~9 分鐘)其溫度差才有較大變化，且為先變小再變大。

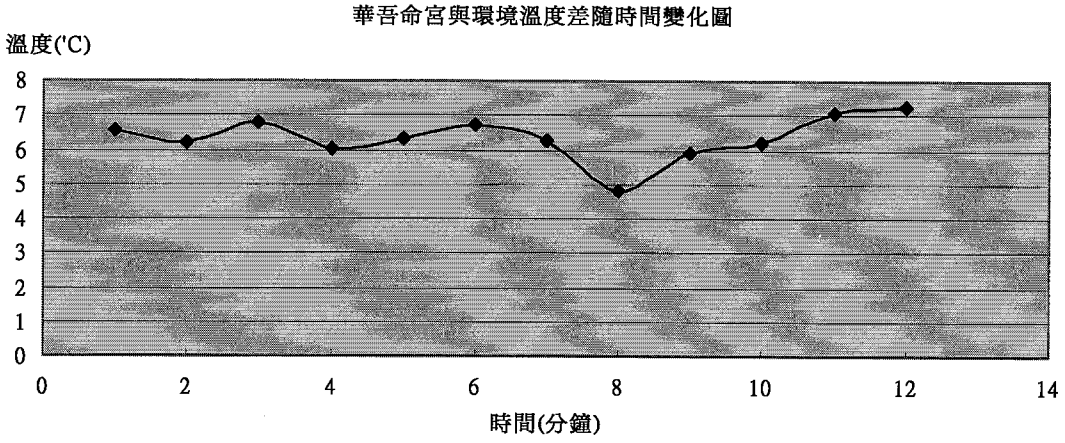

圖十三. 受測者丁命宮與環境溫度差隨時間變化圖

4.討論

上升組與下降組的討論：

上升組平均溫度變化曲線

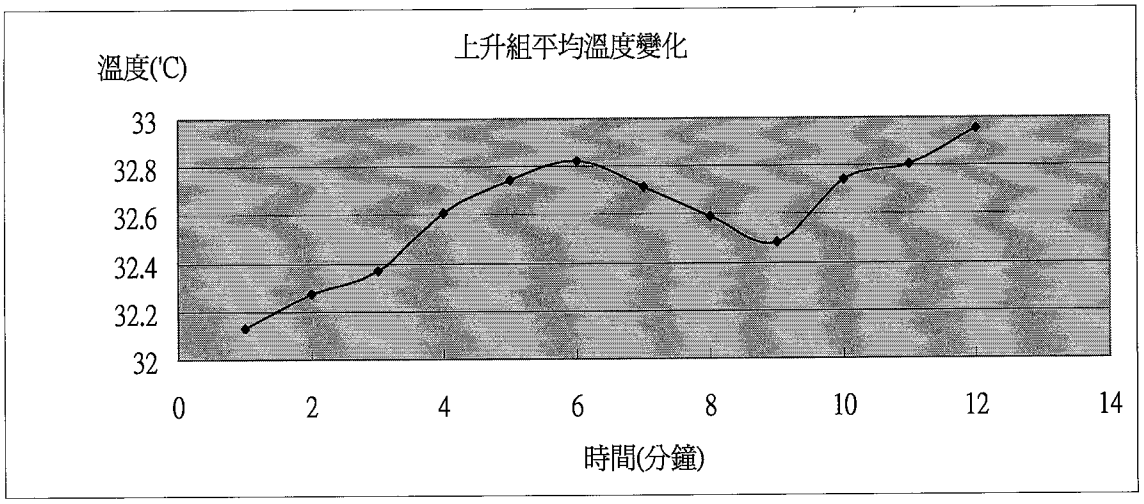

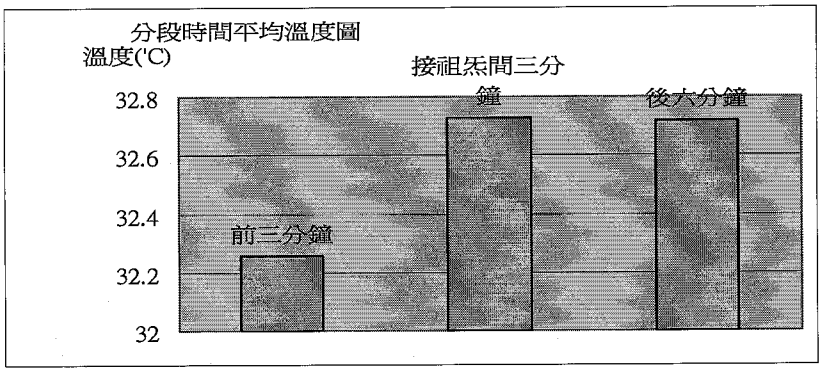

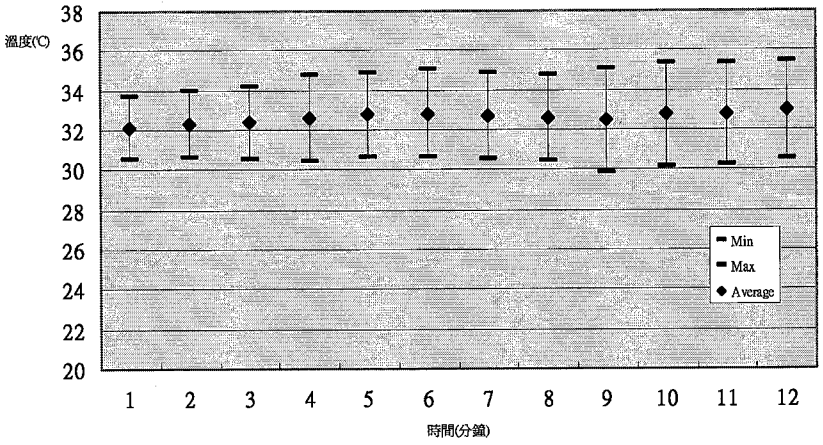

上升組Y-Error

上升組命宮熱像溫度:
經由統計軟體 SPSS11.5 就零分鐘前的命宮熱像溫度與第六分鐘的命宮熱像溫度做比較是具統計意義的(P<0.03)，但第十二分鐘的命宮熱像溫度與零分鐘前的命宮熱像溫度比較仍具統計意義(P<0.04)。

T-Test

Paired Samples Statistics

		Mean	N	Std. Deviation	Std. Error Mean
Pair 1	VAR00001	32.1309	11	1.56266	.47116
	VAR00002	32.8227	11	2.19464	.66171
Pair 2	VAR00001	32.1309	11	1.56266	.47116
	VAR00003	32.9527	11	2.44412	.73693

Paired Samples Correlations

		N	Correlation	Sig.
Pair 1	VAR00001 & VAR00002	11	.950	.000
Pair 2	VAR00001 & VAR00003	11	.946	.000

Paired Samples Test

		Paired Differences					t	df	Sig. (2-tailed)
		Mean	Std. Deviation	Std. Error Mean	95% Confidence Interval of the Difference Lower	Upper			
Pair 1	VAR00001 - VAR00002	-.6918	.86132	.25970	-1.2705	-.1132	-2.664	10	.024
Pair 2	VAR00001 - VAR00003	-.8218	1.09034	.32875	-1.5543	-.0893	-2.500	10	.031

下降組平均溫度變化曲線

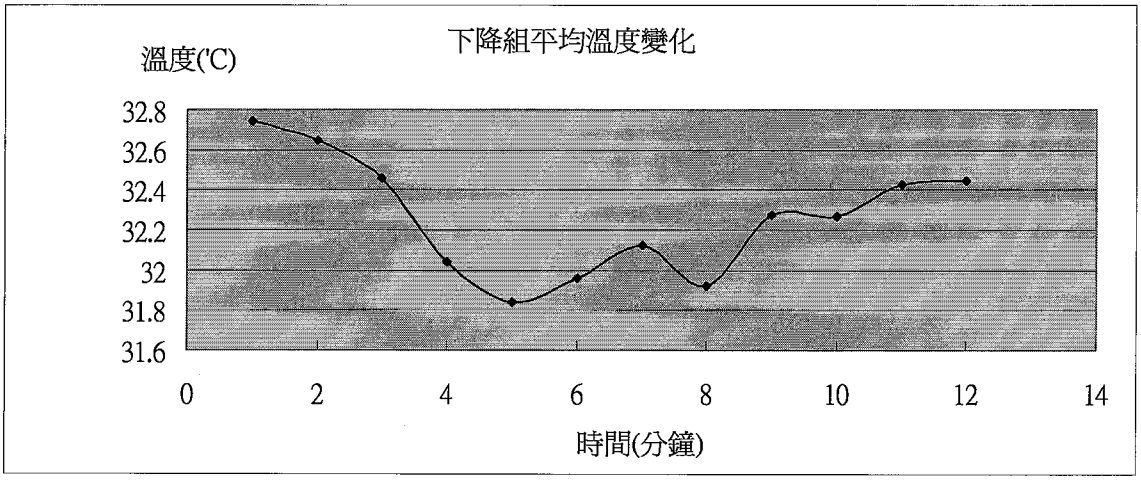

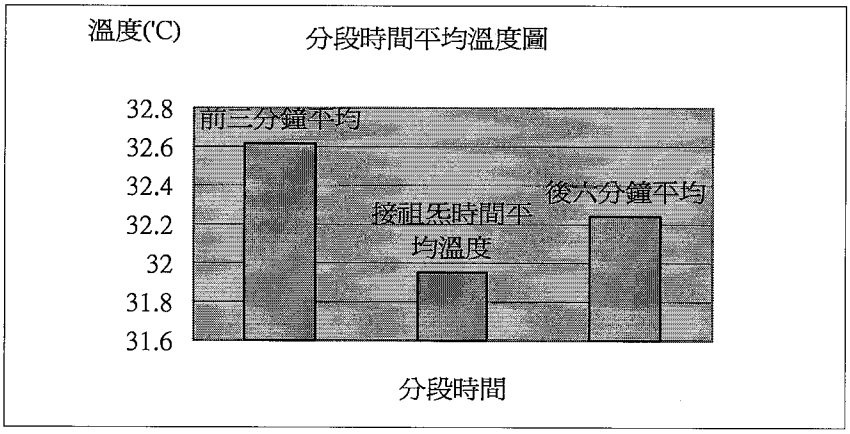

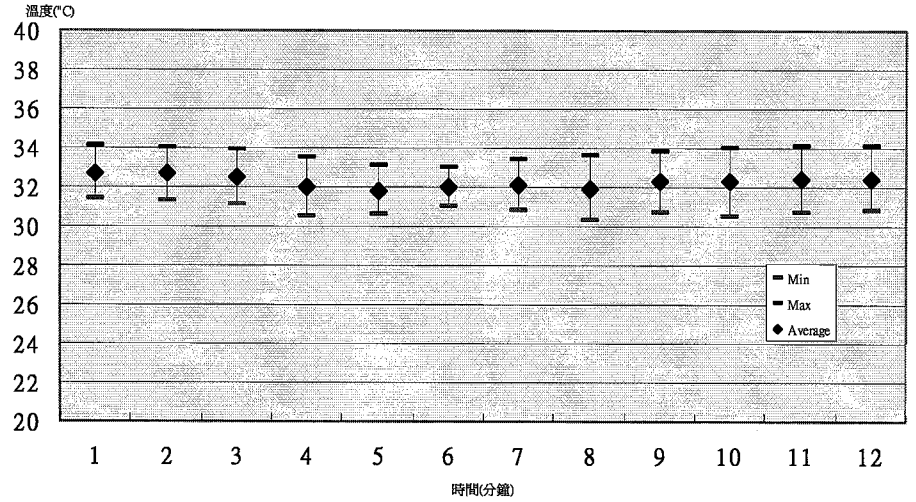

下降組 Y-Error

下降組命宮熱像溫度

經由統計軟體 SPSS11.5 就零分鐘前的命宮熱像溫度與第六分鐘的命宮熱像溫度做比較是具統計意義的(P<0.002)，但第十二分鐘的命宮熱像溫度與零分鐘前的命宮熱像溫度比較則不具統計意義(P=0.315)。

T-Test

Paired Samples Statistics

		Mean	N	Std. Deviation	Std. Error Mean
Pair 1	VAR00001	32.7438	8	1.31057	.46336
	VAR00002	31.9613	8	1.00996	.35707
Pair 2	VAR00001	32.7438	8	1.31057	.46336
	VAR00003	32.4450	8	1.64270	.58078

Paired Samples Correlations

		N	Correlation	Sig.
Pair 1	VAR00001 & VAR00002	8	.973	.000
Pair 2	VAR00001 & VAR00003	8	.884	.004

Paired Samples Test

		Paired Differences					t	df	Sig. (2-tailed)
		Mean	Std. Deviation	Std. Error Mean	95% Confidence Interval of the Difference Lower	Upper			
Pair 1	VAR00001 - VAR00002	.7825	.40358	.14269	.4451	1.1199	5.484	7	.001
Pair 2	VAR00001 - VAR00003	.2987	.78059	.27598	-.3538	.9513	1.082	7	.315

5.結論

由實驗結果可以知道，默運祖炁對於臉上穴道的溫度變化具有一定的影響，但其結果因人而異，有人上升而有些人下降。對於受測者甲，在其進行默運祖炁動作時臉部血管鬆弛，血液流動較多導致溫度上升，也意味著該動作使其控制血管鬆弛的副交感神經受到刺激。而受測者乙在其進行默運祖炁動作時臉部血管收縮，血液無法流向臉部使得溫度下降，表示控制血管收縮的交感神經受到刺激。另外，不論如何，具有較明顯溫度變化的時間皆為三分鐘，一般是在默運祖炁的時間內變化，也有特例是在接祖炁之後的三分鐘中內產生溫度變化。這或許意味著這兩個特例其受祖炁的影響較為緩慢，但變化時間依舊為三分鐘，只是遲來而已。總之，透過熱像儀的分析可知：天帝教法華上乘正宗靜坐默運祖炁時所造成的臉上穴道的溫度變化，可能是透過血管自律神經調節之生理變化。

6.參考資料

[1] 李嗣涔「以刺激法導引氣感之產生」，國立臺灣大學工程學刊, Vol. 46: 117-125.（1989）.

[2] Chien CH., Tsuei JJ., Huang YC., Wei YH. Lee SC., "Effect of emitted Bioenergy on Biochemical Function of Cells" American Journal of Chinese Medicine. Vol. 19(3-4): 385-392. (1991).

[3] Lee SC. "The Qikung states and infrared spectra of external 'QI' " Bulletin of the College of Engineering, N.T.U. No. 49: 97-108. (1990).

[4] Wang WK. et al. "Evaluation of herbal formulas by pulse analysis method" Acta Pharm acol1 Sin Feb; 24(2): 145-151. (2003).

[5] Lee SC., D. Tang, C. T. Chen and S. C. Feng, "Finger Reading: Exploring the Information Field," The International Journal of Healing and Caring, Vol. 2(2): 4-6. (2002).